

## کاربرد منحنی‌های هیپسومتری بی‌بعد در ارزیابی فرسایش و رسوب‌گذاری. مطالعه موردنی: حوضه نچی در استان کردستان

هیوا علمیزاده<sup>۱\*</sup>، آرزو سلیمانی<sup>۲</sup>

استادیار ژئومورفولوژی، گروه محیط‌زیست، دانشگاه علوم و فنون دریایی خرمشهر

<sup>۲</sup>کارشناس ارشد محیط زیست دریا، دانشگاه علوم و فنون دریایی خرمشهر

تاریخ دریافت: ۹۵/۶/۲۳؛ تاریخ پذیرش: ۹۵/۱۱/۱۷

### چکیده

خصوصیات فیزیکی حوضه‌ها از جمله ارتفاع و توپوگرافی، به صورت مستقیم و غیرمستقیم اثرات بسیار زیادی بر فرآیند فرسایش و رسوب‌گذاری دارند. از بین رفتن خاک به وسیله فرسایش و مسایل مرتبه به آن در حوضه‌های رودخانه‌ای از مسایل بسیار مهم محیطی اخیر به شمار می‌رود. در این پژوهش با هدف انتخاب یک مدل برای بررسی تکامل حوضه نچی در شمال شهرستان مریوان، از منحنی‌های هیپسومتریک بی‌بعد به عنوان یک شاخص سنجش مفید در ارزیابی فرسایش و رسوب‌گذاری استفاده گردید. این منحنی‌ها در نرم‌افزار Grapher با ترسیم ارتفاع کل در مقابل مساحت کل حوضه، توزیع سطوح ارتفاعی حوضه را از سطح آب‌های آزاد ارزیابی و توصیف می‌نمایند. منحنی‌های هیپسومتری بی‌بعد واقعی و تئوریک، از جمله روش‌هایی است که امکان تحلیل سه‌بعدی از منطقه را در اختیار کاربر قرار می‌دهد. به منظور تجزیه و تحلیل وضعیت فرسایش و رسوب‌گذاری و شناخت وضعیت تکاملی حوضه‌ها با دید مقایسه‌ای، در سطح حوضه نچی و زیرحوضه‌های آن جداول و منحنی‌های هیپسومتری بی‌بعد محاسبه، ترسیم و مقایسه شده‌اند. بر اساس نحوه قرارگیری این منحنی‌ها نسبت به هم، موقعیت و مکان نقاط دارای فرسایش و رسوب زیرحوضه‌ها و در نهایت، مساحت آن مشخص گردید. نتایج مقایسه سه زیرحوضه انجیران، دره‌ران و گاگل نشان داد که زیرحوضه انجیران را می‌توان در ردیف حوضه‌های در حال تعادل نسبی قرار داد. زیرحوضه گاگل نسبت به حالت تعادل در مقایسه با دو زیرحوضه دیگر فاصله بیشتری دارد و می‌توان گفت که نسبت به دو زیرحوضه دیگر جوان‌تر است. همچنین تقریر در منحنی بی‌بعد زیرحوضه دره‌ران بیانگر غلبه فعالیت‌های فرسایشی بر فعالیت نو زمین‌ساختی حوضه است. با مشاهده منحنی‌های تئوریک و واقعی حوضه نچی متوجه می‌شویم که کل حوضه تا اندازه‌ای جوان است و تا حالت تعادل فاصله نسبتاً کمی دارد.

**واژه‌های کلیدی:** منحنی‌های هیپسومتری بی‌بعد، حوضه نچی، فرسایش، رسوب‌گذاری.

کمتر از چند میلیمتر در هر قرن صورت می‌گیرد ولی فرسایش خاک بسیار سریع عمل می‌نماید؛ به طوری که در یک طوفان سیلابی ممکن است چندین سانتیمتر خاک و یا بیشتر فرسایش یابد. این عدم تعادل بین میزان تشکیل خاک و نرخ‌های فرسایش آن سبب شده است تا خاک یک ماده حساس و گرانبها تلقی شود. علاوه بر فرسایش خاک؛ یکی دیگر از نتایج حاصل از آن رسوب‌گذاری است. رسوب‌گذاری هنگامی صورت می‌گیرد که مقدار مواد منتقل شده به وسیله جریان آب بیش از توان حمل آن باشد که در این

### مقدمه

خاک، یکی از مهم‌ترین منابع طبیعی هر کشوری خاک می‌باشد، به طوری که فرسوده شدن آن از خطرات اساسی و معضلات انسان متمدن امروزی بهشمار می‌رود. از بین رفتن خاک به وسیله فرسایش و مسایل مرتبه به آن در حوضه‌های رودخانه‌ای از مسایل بسیار مهم محیطی اخیر به شمار می‌رود (Lim et al., 2005: 62). تشکیل خاک بسیار آرام و به طور متوسط با نرخ

\*نویسنده مسئول: elmizadeh@kmsu.ac.ir

تهنشنین خواهند شد و دانه‌های کوچکتر به راحتی توسط امواج و جریان‌ها دور می‌شوند و فرسایش می‌یابند. سوف<sup>۱۱</sup> و همکاران (۲۰۱۶) الگوهای زمانی و مکانی فرسایش خاک و رسوبات را در حوضه رودخانه مکونگ<sup>۱۲</sup> مورد مطالعه و ارزیابی قرار دادند؛ همچنین هارگوین<sup>۱۳</sup> و همکاران (۲۰۱۷) ارزیابی ریسک جامع فرسایش خاک برای استفاده بهتر از زمین در حوضه رودخانه نیل را انجام دادند. بیاتی خطیبی و حیدرزادگان (۱۳۸۴) تعیین مراحل ژئومورفولوژیکی دره‌های نواحی کوهستانی با روش‌های کلاسیک و ریاضی را در یازده حوضه و دره اصلی توده کوهستانی سهند را مورد ارزیابی قرار دادند. آنها در بخشی از این تحول حوضه‌ها را تعیین و مورد ارزیابی و مقایسه قرار دادند. سalarی و مرادی نیز (۱۳۸۸) کابرد منحنی‌های هیپسومتری مراحل تحول حوضه‌ها را ارزیابی کردند. نتایج نشان داد که حوضه بانه را ارزیابی فرسایش و رسوب‌گذاری در حوضه بانه را ارزیابی کردند. رسوب‌گذاری، نسبت به حالت تعادل فاصله نسبتاً بیشتری داشته و جوان‌تر است.

بخشی از ویژگی‌های فیزیکی حوضه‌ها از جمله ارتفاع و توپوگرافی، اثرات مستقیم و غیرمستقیم بسیار زیادی بر فرایند فرسایش می‌گذارند. ارتفاع حوضه در آب و هوای منطقه و به همراه آن در تشکیل و توسعه خاک و نوع و تراکم پوشش گیاهی اثر دارد و به همین دلیل آگاهی از ویژگی‌های توپوگرافیک و ارتفاعی حوضه‌ها به ویژه نحوه توزیع سطح با ارتفاع و غیره در شناخت ساز و کارهای حوضه حائز اهمیت فراوان است (Wood ward, 1997: 354). منحنی‌های هیپسومتری بی‌بعد واقعی و تئوریک، از جمله روش‌هایی است که مانند معادله‌های ریاضی قابل تفسیر بوده و امکان تحلیل سه‌بعدی از منطقه را در اختیار کاربر قرار می‌دهد (Zavoianu, 1985: 185). بر اساس نحوه قرارگیری این منحنی‌ها نسبت به هم، موقعیت و مکان نقاط دارای فرسایش و رسوب و نهایتاً مساحت آن

صورت مازاد آن رسوب می‌نماید. باید در نظر داشت که نمی‌توان عاملی مشخص و معین را به عنوان عامل اصلی فرسایش در یک منطقه معرفی نمود؛ بلکه شرایط فرسایشی موجود در منطقه را باید معلوم تاثیرات متقابل مجموعه عوامل موثر در ایجاد فرسایش دانست (نخعی و قنواتی، ۱۳۸۵: ۶۵). استرال<sup>۱</sup> (۱۹۶۴) روش منحنی هیپسومتری بی‌بعد را ارائه کرد که در بین محققین بعدی روش پرکاربردی شده است. تاکنون تحقیقات مختلفی در رابطه با هیپسومتری در ایران و سایر نقاط جهان صورت گرفته است. پردهان و سناپاتی<sup>۲</sup> (۲۰۰۲) در پژوهشی تجزیه و تحلیل هیپسومتریک برخی از حوضه‌های انتخاب شده از حوضه آبریز هیراکود<sup>۳</sup> را بررسی کردند. چن<sup>۴</sup> و همکاران (۲۰۰۳) تغییرات مورفوگرافیک در دامنه‌های غربی تایوان را بر اساس تجزیه و تحلیل هیپسومتریک و جریان گرادیان مورد مطالعه قرار دادند؛ همچنین چن (۲۰۰۴) طی پژوهشی ویژگی‌های مورفوگرافیک کمربند کوه تایوان بر اساس انتگرال هیپسومتریک، فرآکتال توپوگرافی و شاخص SLR ارزیابی کرد. لاو<sup>۵</sup> (۱۹۹۸) و پاندی<sup>۶</sup> و همکاران (۲۰۰۴) آنالیز هیپسومتریک حوضه با استفاده از سیستم اطلاعات جغرافیایی را مورد بررسی قرار دادند. ساینق<sup>۷</sup> و همکاران (۲۰۰۹) روش‌های برآورد انتگرال هیپسومتریک و ارتباط آن روی وضعیت روند فرسایش آبیز شمال غربی هیمالیا را مورد ارزیابی قرار دادند. هالر<sup>۸</sup> (۲۰۱۲) تغییرات هیپسومتریک و تغییرات زمین‌های شهری و روستایی در مرکز پرو را مورد بررسی قرار داد. آمر<sup>۹</sup> و همکاران (۲۰۱۵) شناسایی مشکل ساحلی و پیش‌بینی فرسایش رسوب ساحلی در جنوب جزیره سولاوی<sup>۱۰</sup> را مورد بررسی قرار دادند و به این نتیجه رسیدند که ذرات با اندازه نسبتاً بزرگ

1. Strahler
2. Pradhan and Senapati
3. Hirakund
4. Chen
5. Luo
6. Pandey
7. Singh
8. Haller
9. Umar
10. Sulawesi

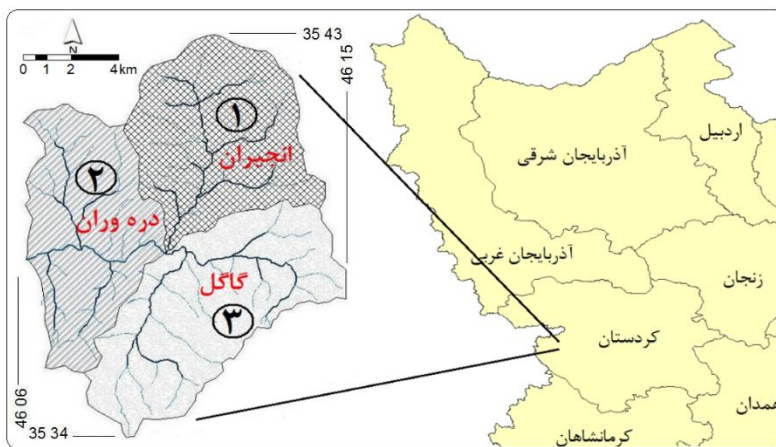
11. Suif  
12. Mekong  
13. Haregeweyn

جغرافیایی  $11^{\circ} 34' 43''$  و  $35^{\circ} 30' 43''$  شمالی واقع شده و  $144$  کیلومترمربع مساحت دارد (شکل ۱). متوسط ارتفاع حوضه  $1670$  متر، پائین‌ترین نقطه ارتفاعی آن  $1320$  متر در نقطه خروجی حوضه و بالاترین نقطه ارتفاعی در شمال شرقی آن  $2502$  متر از سطح دریا ارتفاع داشته که متعلق به کوه چاله‌پان می‌باشد. شیب متوسط حوضه  $31/18$  درصد و جهت شیب عمومی حوضه روبرو غرب می‌باشد. از نظر اقلیمی در منطقه سرد و مرطوب واقع شده،  $100$  روز سال یخ‌بندان اتفاق می‌افتد. میانگین بارش  $997$  میلی‌متر و میانگین دمای سالانه  $13/8$  درجه سانتی‌گراد است (سازمان هواشناسی کشور،  $1392$ ).

مشخص می‌شود. در این پژوهش، سعی بر آن شده است که وضعیت فرسایش و رسوب در سطح حوضه نچی و زیرحوضه‌های آن، مورد ارزیابی قرار گیرد که بدین منظور جداول و منحنی‌های هیپسومتری بی‌بعد واقعی و تئوریک محاسبه و ترسیم شده‌اند و از طریق آنها به ارزیابی و تحلیل وضعیت فرسایش و رسوب‌گذاری در سطح حوضه پرداخته می‌شود.

#### منطقه مورد مطالعه

حوضه نچی در استان کردستان، مرز ایران و عراق و  $11$  کیلومتری شمال شهرستان مریوان و در طول جغرافیایی  $46^{\circ} 55' 46''$ - $47^{\circ} 05' 21''$  شرقی و عرض



شکل ۱: نقشه موقعیت جغرافیایی محدوده مورد مطالعه و زیرحوضه‌های آن

تغییرات  $X$ ،  $Y$  همواره بین صفر و یک نوسان خواهد داشت (موحد دانش،  $1392$ ). شایان ذکر است نمودار به دست آمده هم از نظر کمی و هم از نظر کیفی قابل تفسیر است. اما به لحاظ شناخت دقیق تر پهنه‌های فرسایش و رسوب‌گذاری در سطح حوضه منحنی هیپسومتریک بی‌بعد تئوریک نیز ترسیم شده است. برای ترسیم آن از مقادیر  $X$  و  $Y_C$  استفاده شده که  $X=A/a$  و  $Y_C=(\text{ارتفاع محاسبه شده از نظر تئوری})/\text{ارتفاع رابطه زیر قابل محاسبه}$  است:

$$\text{رابطه ۱: } Y_C = u^z \rightarrow u = \frac{d-(x+a)}{(x+a)} \times a$$

که در آن  $a$  فاصله از مبدأ است که آن را به طور اختیاری  $0/2$  در نظر می‌گیرند، و  $d=1+a$  که برابر

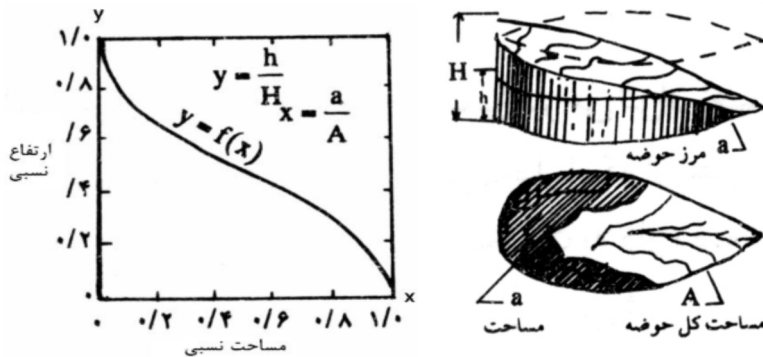
#### مواد و روش‌ها

منحنی‌های هیپسومتری، توزیع سطوح ارتفاعی یک حوضه را از سطح آب‌های آزاد می‌توانند ارزیابی و توصیف نمایند. این منحنی‌ها با ترسیم ارتفاع کل در مقابل مساحت کل حوضه ترسیم می‌گردند. با تقسیم مساحت و ارتفاع منحنی هیپسومتری بر مساحت کل حوضه و حداقل ارتفاع حوضه، می‌توان آن را به صورت بی‌بعد نشان داد. در منحنی‌های هیپسومتریک بی‌بعد واقعی از تقسیم مساحت جزئی تجمعی (a) به مساحت کل حوضه (A)، مقادیر  $X$  ( $X=A/a$ ) و از تقسیم اختلاف ارتفاع جزئی تجمعی (h) به اختلاف ارتفاع کل حوضه (H) مقادیر  $Y$  ( $Y=h/H$ ) حاصل می‌گردد که در دو محور نمودار جای می‌گیرند. بدیهی است که دامنه

شکل (۲) اجزاء منحنی هیپسومتری بی بعد را نشان می دهد (Ritter et al., 2002).

۱/۲ خواهد بود. مقدار  $Z$  را نیز می توان از رابطه زیر به دست آورد:

$$Z = \frac{\sum \log y}{\sum \log u} \quad \text{رابطه ۲:}$$

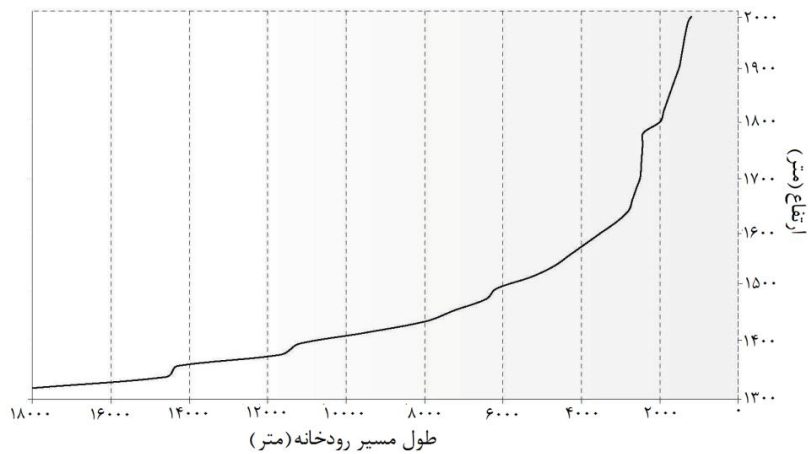


شکل ۲: منحنی هیپسومتری بی بعد

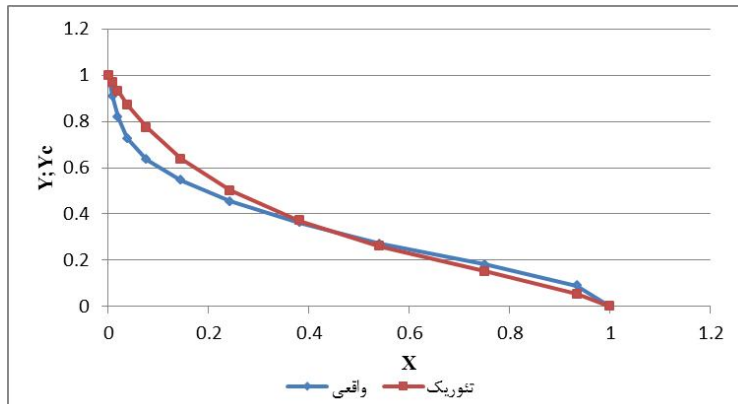
و تا ارتفاع حدود ۱۶۰۰ متر ادامه دارد که در این حد ارتفاعی دو منحنی به هم نزدیک می شوند و حالت تعادل ایجاد می شود؛ بنابراین در این منطقه مکانیسم فرسایش و رسوب در تعادل می باشد. در ادامه منحنی تئوریک در پایین منحنی واقعی قرار گرفته است که نشانگر رسوبگذاری در بستر است. این حالت از ارتفاع ۱۶۰۰ متر به پایین، به عبارتی تا نزدیکی خروجی حوضه در ارتفاع ۱۳۲۰ متری به صورت مشخصی وجود دارد. در (جدول ۱) محاسبات مربوط به منحنی بی بعد حوضه نچی آورده شده است.

#### یافته های تحقیق

بررسی پروفیل طولی رودخانه قزلچه سو نشان می دهد که بیشترین شبیه رودخانه اصلی حوضه بین منحنی میزان ۲۰۰۰-۱۷۰۰ و کمترین آن بین ۱۳۰۰-۱۵۰۰ متر می باشد (شکل ۳)؛ همچنین منحنی های تئوریک و واقعی ترسیم شده برای حوضه نچی (شکل ۴) نشان می دهد که در بالادست، منحنی تئوریک به صورت مشخصی در بالای منحنی واقعی قرار گرفته که نشانگر فرسایش در این قسمت از حوضه است. این روند از ارتفاع ۲۵۰۲ متر شروع شده



شکل ۳: پروفیل طولی رودخانه قزلچه سو در حوضه مورد مطالعه



شکل ۴: منحنی هیپسومتریک بی بعد واقعی و تئوریک در حوضه مورد مطالعه

جدول ۱: محاسبات مربوط به منحنی بی بعد حوضه مورد مطالعه

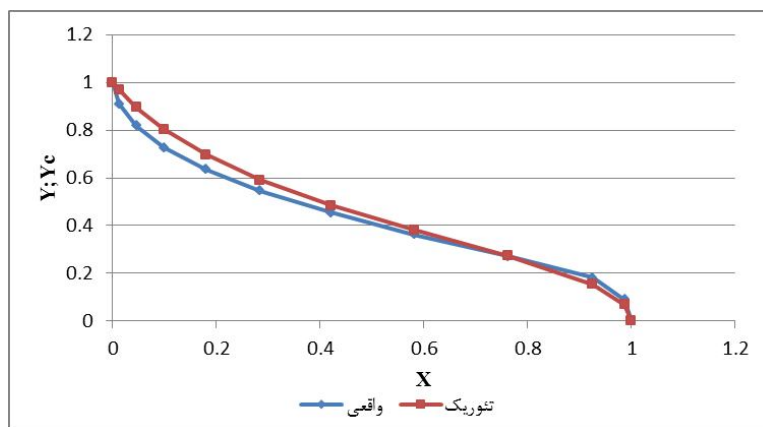
طبقات ارتفاعی	Area	X	Y	Log Y	U	Log U	Y <sub>c</sub>
۱۳۲۰-۱۴۰۰	۹,۶۲	۱,۰۰۰	۰,۰۰۰	-	۰,۰۰۰	-	۰,۰۰۰
۱۴۰۰-۱۵۰۰	۲۶,۳۷	۰,۹۳۴	۰,۰۹۰	-۱,۰۴۵	۰,۰۱۱	-۱,۹۵۸	۰,۰۵۵
۱۵۰۰-۱۶۰۰	۲۹,۹۱	۰,۷۵۱	۰,۱۸۱	-۰,۷۴۲	۰,۰۵۲	-۱,۲۸۳	۰,۱۵۱
۱۶۰۰-۱۷۰۰	۲۳,۱۴	۰,۵۴۱	۰,۲۷۲	-۰,۵۶۵	۰,۱۲۳	-۰,۹۱۰	۰,۲۶۱
۱۷۰۰-۱۸۰۰	۱۹,۷۱	۰,۳۸۱	۰,۳۶۳	-۰,۴۴۰	۰,۰۲۱۳	-۰,۶۷۱	۰,۳۷۱
۱۸۰۰-۱۹۰۰	۱۴,۱۸	۰,۲۴۳	۰,۴۵۴	-۰,۳۴۲	۰,۰۳۴۱	-۰,۴۶۷	۰,۵۰۲
۱۹۰۰-۲۰۰۰	۱۰,۳۱	۰,۱۴۵	۰,۵۴۵	-۰,۲۶۳	۰,۰۴۹۵	-۰,۳۰۸	۰,۶۳۷
۲۰۰۰-۲۱۰۰	۵,۳۸	۰,۰۷۶	۰,۶۳۶	-۰,۱۹۶	۰,۰۶۶۹	-۰,۱۷۴	۰,۷۷۳
۲۱۰۰-۲۲۰۰	۲,۷۵	۰,۰۳۸	۰,۷۲۷	-۰,۱۳۸	۰,۰۸۰۸	-۰,۰۹۲	۰,۸۷۲
۲۲۰۰-۲۳۰۰	۱,۶۱	۰,۰۱۹	۰,۸۱۸	-۰,۰۸۷	۰,۰۸۹۵	-۰,۰۴۸	۰,۹۳۱
۲۳۰۰-۲۴۰۰	۱,۰۱	۰,۰۰۸	۰,۹۰۲۹	-۰,۰۴۱	۰,۰۹۵۳	-۰,۰۲۰	۰,۹۷۰
۲۴۰۰-۲۵۰۲	۰,۲۱	۰,۰۰۱	۱,۰۰۰	۰,۰۰۰	۰,۹۹۴	-۰,۰۰۲	۱

عرض فرسایش قرار دارد. فاصله کم دو منحنی نشان دهنده کاهش شدت فرسایش و گرایش به تعادل است. از ارتفاع ۱۷۰۰ متر تا حدوداً ۱۶۰۰ متر تقریباً دو منحنی واقعی و تئوریک بر هم‌دیگر منطبق بوده و حالت تعادل نسبتاً کامل برقرار است. بنابراین در این منطقه مکانیسم فرسایش و رسوب در تعادل می‌باشد. از ارتفاع ۱۶۰۰ متر تا ارتفاع تقریباً ۱۴۰۰ متری منحنی تئوریک در پایین منحنی واقعی قرار گرفته است و در این منطقه امکان رسوب‌گذاری در بستر وجود دارد. از این ارتفاع تا خروجی حوضه دو منحنی بر هم‌دیگر منطبق است.

مساحت زیرحوضه انجیران ۴۷,۱۷ کیلومترمربع و محیط آن ۳۰,۹۰ کیلومتر است. بیشترین و کمترین ارتفاع به ترتیب ۲۵۰۲ و ۱۳۳۹ متر و متوسط ارتفاع حوضه ۱۷۹۷ متر است. برای تحلیل فرسایش بر اساس روابط ریاضی در زیر حوضه انجیران مقادیر (جدول ۲) محاسبه و منحنی هیپسومتری بی بعد آن در (شکل ۵) ترسیم شده است. با توجه به منحنی هیپسومتری بی بعد انجیران، حدود ۵۸ درصد از مساحت بالادست، منطقه‌ای را شامل می‌شود که در آن منحنی تئوریک در بالای منحنی واقعی قرار گرفته است؛ بنابراین ۵۸ درصد مساحت بالادست حوضه در

جدول ۲: محاسبات مربوط به منحنی بی بعد زیر حوضه انجیران

طبقات ارتفاعی	Area	X	Y	Log Y	U	Log U	Y <sub>c</sub>
۱۳۲۰-۱۴۰۰	۰,۶۵	۱,۰۰۰	۰,۰۰۰	-	۰,۰۰۰	-	۰,۰۰۰
۱۴۰۰-۱۵۰۰	۲,۹۱	۰,۹۸۷	۰,۰۹۰	-۱,۰۴۵	۰,۰۰۲	-۲,۶۹۸	۰,۰۶۹
۱۵۰۰-۱۶۰۰	۷,۶۹	۰,۹۲۵	۰,۱۸۱	-۰,۷۴۲	۰,۰۱۳	-۱,۸۸۶	۰,۱۵۴
۱۶۰۰-۱۷۰۰	۸,۵۰	۰,۷۶۲	۰,۲۷۲	-۰,۵۶۵	۰,۰۴۹	-۱,۳۰۹	۰,۲۷۳
۱۷۰۰-۱۸۰۰	۷,۶۱	۰,۵۸۱	۰,۳۶۳	-۰,۴۴۰	۰,۱۰۷	-۰,۹۷۰	۰,۳۸۲
۱۸۰۰-۱۹۰۰	۶,۴۲	۰,۴۲۱	۰,۴۵۴	-۰,۳۴۲	۰,۱۸۶	-۰,۷۳۰	۰,۴۸۵
۱۹۰۰-۲۰۰۰	۴,۸۸	۰,۲۸۴	۰,۵۴۵	-۰,۲۶۳	۰,۲۹۵	-۰,۵۳۰	۰,۵۹۱
۲۰۰۰-۲۱۰۰	۳,۸۱	۰,۱۸۰	۰,۶۳۶	-۰,۱۹۶	۰,۴۳۱	-۰,۳۶۵	۰,۶۹۶
۲۱۰۰-۲۲۰۰	۲,۵۴	۰,۰۹۹	۰,۷۷۷	-۰,۱۳۸	۰,۶۰۲	-۰,۲۲۰	۰,۸۰۳
۲۲۰۰-۲۳۰۰	۱,۵۷	۰,۰۴۶	۰,۸۱۸	-۰,۰۸۷	۰,۷۷۵	-۰,۱۱۰	۰,۸۹۶
۲۳۰۰-۲۴۰۰	۱,۰۰	۰,۰۱۲	۰,۹۰۹	-۰,۰۴۱	۰,۹۳۲	-۰,۰۳۰	۰,۹۷۰
۲۴۰۰-۲۵۰۲	۰,۲۱	۰,۰۰۰	۱,۰۰۰	۰,۰۰۰	۱,۰۰۰	۰,۰۰۰	۱,۰۰۰



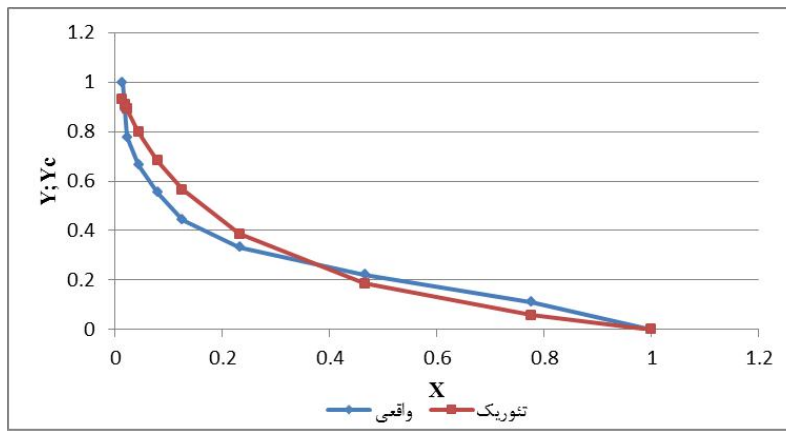
شکل ۵: منحنی هیپسومتریک بی بعد واقعی و تئوریک در زیر حوضه انجیران

ارتفاع حدود ۱۶۰۰ متر ادامه دارد که در این حد ارتفاعی دو منحنی به هم نزدیک می‌شوند و حالت تعادل ایجاد می‌شود. در ادامه منحنی تئوریک در پایین منحنی واقعی قرار گرفته که نشانگر رسوبگذاری در بستر است. این حالت از ارتفاع ۱۶۰۰ متر به پایین، به صورت مشخصی وجود دارد. به طور کلی می‌توان گفت که تقریر در منحنی بی بعد زیر حوضه درهوران بیانگر غلبه فعالیت‌های فرسایشی بر فعالیت نو زمین ساختی حوضه است.

مساحت زیر حوضه درهوران ۵۴,۰۸ کیلومترمربع و محیط آن ۳۲,۵۴ کیلومتر است. بیشترین و کمترین ارتفاع به ترتیب ۲۲۹۰ و ۱۳۲۰ متر و متوسط ارتفاع حوضه ۱۵۳۰ متر است (جدول ۳). با نگاه به منحنی‌های تئوریک و واقعی ترسیم شده برای زیر حوضه درهوران (شکل ۶) متوجه می‌شویم که در بالادست، منحنی تئوریک به صورت مشخصی در بالای منحنی واقعی قرار گرفته است که نشانگر فرسایش است. این روند از ارتفاع ۲۲۹۰ متر شروع شده و تا

جدول ۳: محاسبات مربوط به منحنی بی بعد زیر حوضه درهوران

طبقات ارتفاعی	Area	X	Y	Log Y	U	Log U	$Y_c$
۱۳۲۰-۱۴۰۰	۹.۵۸	۱,۰۰۰	۰,۰۰۰	-	۰,۰۰۰	-	۰,۰۰۰
۱۴۰۰-۱۵۰۰	۱۳.۲۳	۰,۷۷۶	۰,۱۱۱	-۰,۹۵۴	۰,۰۴۵	-۱,۳۴۶	۰,۰۵۸
۱۵۰۰-۱۶۰۰	۱۰,۱۸	۰,۴۶۵	۰,۲۲۲	-۰,۶۵۳	۰,۱۶۰	-۰,۷۹۵	۰,۱۸۵
۱۶۰۰-۱۷۰۰	۴.۵۵	۰,۲۳۲	۰,۳۳۳	-۰,۴۷۷	۰,۳۵۵	-۰,۴۴۹	۰,۳۸۶
۱۷۰۰-۱۸۰۰	۲,۰۱	۰,۱۲۵	۰,۴۴۴	-۰,۳۵۲	۰,۵۳۸	-۰,۲۶۹	۰,۵۶۵
۱۸۰۰-۱۹۰۰	۱.۵۲	۰,۰۷۹	۰,۵۵۵	-۰,۲۵۵	۰,۶۶۰	-۰,۱۸۰	۰,۶۸۲
۱۹۰۰-۲۰۰۰	۰,۹۲	۰,۰۴۴	۰,۶۶۶	-۰,۱۷۶	۰,۷۸۳	-۰,۱۰۶	۰,۷۹۸
۲۰۰۰-۲۱۰۰	۰,۷۳	۰,۰۲۲	۰,۷۷۷	-۰,۱۰۹	۰,۸۸۱	-۰,۰۵۵	۰,۸۹۰
۲۱۰۰-۲۲۰۰	۰,۲۱	۰,۰۱۸	۰,۸۸۸	-۰,۰۵۱	۰,۹۰۰	-۰,۰۴۵	۰,۹۰۸
۲۲۰۰-۲۳۰۰	۰,۰۳	۰,۰۱۳	۱,۰۰۰	۰,۰۰۰	۰,۹۲۶	-۰,۰۳۳	۰,۹۳۲



شکل ۶: منحنی هیپسومتریک بی بعد واقعی و تئوریک در زیر حوضه درهوران

جدول ۴: محاسبات مربوط به منحنی بی بعد زیر حوضه گاگل

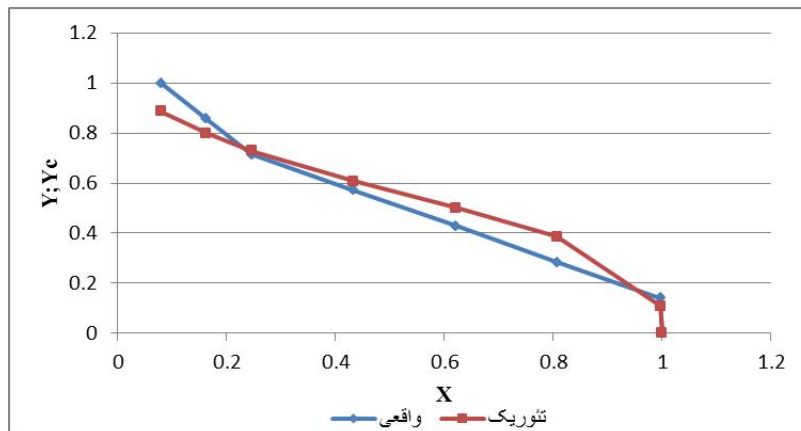
طبقات ارتفاعی	Area	X	Y	Log Y	U	Log U	$Y_c$
۱۳۲۰-۱۴۰۰	۰,۲۱	۱,۰۰۰	۰,۰۰۰	-	۰,۰۰۰	-	۰,۰۰۰
۱۴۰۰-۱۵۰۰	۱۰,۲۳	۰,۹۹۷	۰,۱۴۲	-۰,۸۴۷	۰,۰۰۰۵	-۳,۳۰۱	۰,۱۱۰
۱۵۰۰-۱۶۰۰	۱۲,۰۴	۰,۸۰۷	۰,۲۸۵	-۰,۵۴۵	۰,۰۳۸	-۱,۴۲۰	۰,۳۸۷
۱۶۰۰-۱۷۰۰	۱۰,۰۹	۰,۶۲۱	۰,۴۲۸	-۰,۳۶۸	۰,۰۹۲	-۱,۰۳۶	۰,۵۰۱
۱۷۰۰-۱۸۰۰	۱۰,۰۸	۰,۴۳۳	۰,۵۷۱	-۰,۲۴۳	۰,۱۷۹	-۰,۷۴۷	۰,۶۰۷
۱۸۰۰-۱۹۰۰	۶,۲۳	۰,۲۴۶	۰,۷۱۴	-۰,۱۴۶	۰,۳۳۸	-۰,۴۷۱	۰,۷۳۰
۱۹۰۰-۲۰۰۰	۴,۵۱	۰,۱۶۲	۰,۸۵۷	-۰,۰۶۷	۰,۴۶۲	-۰,۳۳۵	۰,۷۹۹
۲۰۰۰-۲۱۰۰	۰,۸۴	۰,۰۷۹	۱,۰۰۰	۰,۰۰۰	۰,۶۶۰	-۰,۱۸۰	۰,۸۸۶

(شکل ۷) ترسیم شده است. منحنی نمودار نشان می‌دهد که در بالادست حوضه منحنی واقعی در بالای منحنی تئوریک قرار گرفته است که نشانگر رسوبگذاری در این قسمت از حوضه است. این روند از ارتفاع ۲۱۰۰ متر تا ارتفاع حدود ۱۹۰۰ متر ادامه دارد. در ادامه منحنی تئوریک در بالای منحنی واقعی قرار

مساحت زیرحوضه گاگل ۴۲,۹۷ کیلومترمربع و محیط آن ۳۵,۳۰ کیلومتر است. بیشترین و کمترین ارتفاع به ترتیب ۲۹۰۲ و ۱۳۹۸ متر و متوسط ارتفاع حوضه ۱۶۷۱ متر است. برای ارزیابی و تحلیل وضعیت فرسایش در زیرحوضه گاگل نیز (جدول ۴) محاسبه و منحنی‌های هیپسومتری بی بعد واقعی و تئوریک آن

دارد که در این حد ارتفاعی دو منحنی به هم نزدیک می‌شود و حالت تعادل ایجاد می‌شود.

گرفته که بیانگر وضعیت فرسایشی برای این قسمت از حوضه است. این روند تا ارتفاع حدود ۱۵۰۰ متر ادامه



شکل ۷: منحنی هیپسومتریک بی بعد واقعی و تئوریک در زیر حوضه گاگل

قرار گرفته که نشانگر فرسایش در این قسمت از حوضه است. این روند از ارتفاع ۲۵۰۲ متر شروع شده و تا ارتفاع حدود ۱۶۰۰ متر ادامه دارد که در این حد ارتفاعی دو منحنی به هم نزدیک می‌شوند و حالت تعادل ایجاد می‌شود، بنابراین در این منطقه مکانیسم فرسایش و رسوب در تعادل می‌باشد. در ادامه منحنی تئوریک در پایین منحنی واقعی قرار گرفته که نشانگر رسوبگذاری در بستر است. این حالت از ارتفاع ۱۶۰۰ متر تا نزدیکی خروجی حوضه در ارتفاع ۱۳۶۰ متری به صورت مشخصی وجود دارد.

در زیر حوضه انجیران، از ارتفاع ۱۷۰۰ متر تا حدود ۱۶۰۰ متر تقریباً دو منحنی واقعی و تئوریک بر هم‌دیگر منطبق بوده و حالت تعادل نسبتاً کامل برقرار است؛ بنابراین در این منطقه مکانیسم فرسایش و رسوب در تعادل می‌باشد. از ارتفاع ۱۶۰۰ متر تا ارتفاع تقریباً ۱۴۰۰ متری منحنی تئوریک در پایین منحنی واقعی قرار گرفته است و در این منطقه امکان رسوبگذاری در بستر وجود دارد. از این ارتفاع تا خروجی حوضه دو منحنی بر هم‌دیگر منطبق است. در بالادست زیر حوضه درهوران، منحنی تئوریک به صورت مشخصی در بالای منحنی واقعی قرار گرفته که نشانگر فرسایش است. این روند از ارتفاع ۲۲۹۰ متر شروع شده و تا ارتفاع حدود ۱۶۰۰ متر ادامه دارد که در این حد ارتفاعی دو منحنی به هم نزدیک می‌شوند

### نتیجه‌گیری

منحنی‌های هیپسومتری بی بعد واقعی و تئوریک، امکان تحلیل سه‌بعدی را در اختیار کاربر قرار می‌دهد. این منحنی‌ها مانند معادله‌های ریاضی قابل تفسیر بوده و از طریق آنها به چگونگی و ارزیابی وضعیت فرسایش، رسوب‌گذاری و تکتونیک در سطح حوضه پرداخته می‌شود. حوضه نچی جزء کوچکی از قلمرو شمالی زون ساختمانی سندنج - سیرجان است. اسکلت اصلی ناهمواری‌های منطقه که از بخشی از سازندهای کرتاسه تحتانی و بالائی به صورت سنگ‌های شیلی و آهک‌های متبلور تشکیل شده است، تحت تأثیر حرکات زمین ساخت متعدد ستوزوئیک قرار گرفته و استخوان‌بندی ناهمواری‌های فعلی را تشکیل داده است. به طور کلی مورفولوژی کوهستان، حوضه نچی را احاطه کرده و سپس به طرف مرکز حوضه به تپه ماهورهای پرشیب و در انتهای حوضه به مورفولوژی دشت مبدل می‌گردد. عناصر ساختاری شامل چین‌ها، گسل‌ها، درزهای ساختمان‌های حاصل از فعالیت‌های مagmaی، عواملی هستند که در بخش‌های مختلف موجب تغییر مورفولوژی در منطقه شده‌اند.

منحنی‌های تئوریک و واقعی ترسیم شده برای حوضه نچی نشان می‌دهد که در بالادست، منحنی تئوریک به صورت مشخصی در بالای منحنی واقعی

۳. ذهاب ناظوری، سمیه؛ عمام الدین، سمیه و عباس‌نژاد، احمد. ۱۳۹۴. تحلیل ژئومورفومتری شبکه زهکشی در مخروط آتششان بیدخوان (واقع در استان کرمان). مجله آمایش جغرافیایی فضای دوره ۵، شماره ۱۷، صفحه ۱۶۹-۱۲۸.
۴. سالاری، ممند؛ مرادی، امید. ۱۳۸۸. کاربرد منحنی‌های هیپسومتری بی‌بعد در ارزیابی مساحت‌های در حال فرسایش و رسوب‌گذاری در حوضه آبخیز بانه. مجله اطلاعات جغرافیایی سپهر، دوره هجدهم، شماره شصت و نهم. ۴۹-۵۱.
۵. شرفی، سیامک؛ شامی، ابوالفضل؛ یمانی، مجتبی. ۱۳۹۳. بررسی تغییرات مورفولوژیکی رودخانه اترک در یک بازه زمانی ۲۰ ساله. مجله آمایش جغرافیایی فضای دوره ۴، شماره ۱۴، صفحه ۱۲۹-۱۵۰.
۶. عزیزان، اصغر و شکوهی، علیرضا. ۱۳۹۵. اثر منابع مختلف تهیه مدل‌های رقومی ارتفاعی بر شاخص توپوگرافی و نتایج حاصل از مدل نیمه توزیعی TOPMODEL. مجله علمی-پژوهشی عمران مدرس. دوره شانزدهم، شماره دو، صص ۱۸۷-۲۰۱.
۷. قدیری معصوم، مجتبی و حجی پور، محمد. ۱۳۹۵. آمایش اکولوژیکی مکان در راستای پیشبرد توسعه پایدار کشاورزی - مورد: کاشت پسته در شهرستان نهبندان. مجله آمایش جغرافیایی فضای دوره ۶، شماره ۲۲، صفحه ۱۰۹-۱۲۴.
۸. کریمی، سمیه و شرفی، سیامک. ۱۳۹۵. بررسی تطبیقی شکل و تغییرات دامنه‌ها با استفاده از شاخص سینوسیتی در ناهمواری‌های کارستی استان کرمانشاه. مجله علوم جغرافیایی، شماره ۲۵، صص ۵۰-۷۰.
۹. گلی مختاری، لیلا. ۱۳۹۴. بررسی اثر سیستم‌های شکل‌زا بر مورفولوژی حوضه‌های آبریز ایران. جغرافیا و برنامه‌ریزی محیطی، سال ۲۶، پیاپی ۵۹، شماره ۳، صص ۲۳۸-۲۲۵.
۱۰. لرستانی، قاسم، اسماعیلی، رضا و اعتمادی، فاطمه. ۱۳۹۴. بررسی میزان تغییرات خط ساحلی دریای خزر در مصب رودخانه‌ها (مطالعه موردنی: مصب رودخانه‌های هراز، بابلرود و تالار). مجله آمایش جغرافیایی فضای دوره ۵، شماره ۱۸، زمستان، صفحه ۱۲۳-۱۳۶.
۱۱. مقامی مقیم، غلامرضا. ۱۳۹۷. بررسی تأثیر گسل‌ها در ریخت شناسی حوضه آبریز در پرچین با استفاده از

و حالت تعادل ایجاد می‌شود. در ادامه، منحنی تئوریک در پایین منحنی واقعی قرار گرفته است که نشانگر رسوب‌گذاری در بستر است. این حالت از ارتفاع ۱۶۰۰ متر به پایین، به صورت مشخصی وجود دارد. به طور کلی می‌توان گفت که تقریباً در منحنی بی‌بعد زیرحوضه دره‌وران بیانگر غلبه فعالیت‌های فرسایشی بر فعالیت نو زمین‌ساختی حوضه است. ارزیابی و تحلیل وضعیت فرسایش در زیرحوضه گاگل نشان داد که در بالادست زیرحوضه منحنی واقعی در بالای منحنی تئوریک قرار گرفته که نشانگر رسوب‌گذاری در این قسمت از زیرحوضه است. این روند از ارتفاع ۲۱۰۰ متر تا ارتفاع حدود ۱۹۰۰ متر ادامه دارد. در ادامه منحنی تئوریک در بالای منحنی واقعی قرار گرفته که بیانگر وضعیت فرسایشی برای این قسمت از زیرحوضه است. این روند تا ارتفاع حدود ۱۵۰۰ متر ادامه دارد که در این حد ارتفاعی دو منحنی به هم نزدیک می‌شود و حالت تعادل ایجاد می‌شود. مقایسه سه زیرحوضه انگیران، دره‌وران و گاگل نشان داد که زیرحوضه انگیران را می‌توان در ردیف حوضه‌های در حال تعادل نسبی قرار داد. زیرحوضه گاگل نسبت به حالت تعادل در مقایسه با دو زیرحوضه دیگر فاصله بیشتری دارد و نسبت به دو زیرحوضه دیگر جوان‌تر است. بررسی و مقایسه منحنی‌های تئوریک و واقعی حوضه نچی نشان داد که کل حوضه تا اندازه‌ای جوان است و تا حالت تعادل فاصله نسبتاً کمی دارد.

## منابع

۱. بیاتی خطیبی، مریم و حیدرزادگان، پروین. ۱۳۸۴. تعیین مراحل تحول ژئومورفولوژیکی دره‌های نواحی کوهستانی با روش‌های کلاسیک و ریاضی مطالعه موردنی یازده حوضه و دره اصلی توده‌ی کوهستانی سهند. مجله جغرافیا و توسعه، ۱۱۰-۸۵.
۲. جهانی شکیب، فاطمه، اردکانی، طاهره و سلمان ماهینی، عبدالرسول. ۱۳۹۷. مقایسه و اعتبارسنجی دو رویکرد بهینه‌سازی کاربری‌ها در آمایش سرزمین شهرستان گرگان. مجله آمایش جغرافیایی فضای دوره ۸، شماره ۲۹، پاییز، صفحه ۴۷-۶۰.

20. Lim, K.J., Sagong, M., Engel, B.A., Tang, Zh, Choi, J., and Kim, Ki.S. 2005. GIS-based sediment assessment tool. *Catena*. 64: 61-80.
21. Luo, W. 1998. Hypsometric analysis with a geographic information system. *Computers & Geosciences*, 24 (8): 815-821.
22. Pandey, A., Chowdary, V.M., and Mal, B.C. 2004. Hypsometric analysis of watershed using geographic information system. *Soil Water Conserv India*. 3:123-127
23. Pradhan, K. and Senapati, P.C. 2002. Hypsometric analysis of some selected watersheds of Hirakund catchment. *Soil Water Conserv*. 30: 183-185.
24. Ritter, D.F., Kochel, R.C., and Miller, J.R. 2002. Process geomorphology. McGraw Hill, Boston
25. Singh, P.K., Kumar, V., Purohit, R.C., Kothari, M., and Dashora, P.K. 2009. Application of Principal Component Analysis in Grouping Geomorphic Parameters for Hydrologic Modeling. *Water Res. Manage.*, 23: 325-339.
26. Strahler, A.N. 1964. Quantitative geomorphology of drainage basin and channel networks, section 4-11. In V.T. Chow (Editor), *Applied Hydrology*. McGraw Hill, New York.
27. Suif, Z., Fleifle, A., Yoshimura, C., and Saavedra, O. 2016. Spatio-temporal patterns of soil erosion and suspended sediment dynamics in the Mekong River Basin. *Science of the Total Environment*, 568: 933-945.
28. Umar, H., Rhman, S., and Klara, S. 2015. Identification of Coastal Problem and Prediction of Coastal Erosion Sedimentation in South Sulawesi. *Procedia Engineering*, 116:125-133.
29. Wood ward, J. 1997. Erosions and suspended sediment transfer in river catchments: Environmental controls. Process and problems. *Geography*, 82: 353-378.
30. Zavoianu, I. 1985. Development in Water Science, 20, Morphometry of Drainage Basins, Elsevier, New York.
- شاخص های مورفوتکتونیکی. مجله آمایش جغرافیایی فضا. دوره ۸، شماره ۲۹، پاییز، صفحه ۳۲-۱۹
۱۲. مقصودی، م.. زمانزاده، س.م.. یمانی، م، حاجیزاده، ع. ۱۳۹۶. بررسی تکتونیک فعال حوضه آبریز مارون با استفاده از شاخص های ژئومورفیک. پژوهش های ژئومورفولوژی کمی، سال ششم، شماره ۳، صفحه ۵۹-۳۷
۱۳. موحد دانش، علی اصغر، ۱۳۹۲. هیدرولوژی آب های سطحی ایران. انتشارات سمت، ۳۷۸
۱۴. موسوی، سید حجت. ۱۳۹۶. برآورد میزان فرسایش خاک در حوضه آبخیز شهرود - میامی با استفاده از مدل SLEMSA و تکنیک GIS. مجله آمایش جغرافیایی فضا. دوره ۷، شماره ۲۴، صفحه ۱۵-۳۴
۱۵. نخعی، محمد، قنواتی؛ عزت ا... ۱۳۸۵. کاربرد منحنی های هیپسومتری بی بعد در تعیین مساحت های در حال فرسایش و رسوب گذاری حوضه خیرآباد استان، مجله زمین شناسی ایران، سال دوم، شماره چهارم. ۶۵-۷۲
16. Chen, Y.Ch, Sung, Q., and Cheng, K.Yu. 2003. Along-strike variations of morphotectonic features in the Western Foothills of Taiwan: tectonic implications based on stream-gradient and hypsometric analysis. 56: 109-137.
17. Chen, Y. anjie, 2004. Morphotectonic features of taiwan mountain belt based on hypsometric integral, Topographic Fractals and SL Index. Taiwan: National Cheng Gong University. 57: 95-108
18. Haller, A. 2012. Vivid valleys, pallid peaks, Hypsometric variations and rural-urban land change in the Central Peruvian Andes. *Applied Geography*. 35: 439-447.
19. Haregeweyn, N., Tsunekawa, A., Poesen, J., Tsubo, M., Meshesha, D.T., Nyssen, J., and Adgo, E., 2017. Comprehensive assessment of soil erosion risk for better land use planning in river basins: Case study of the Upper Blue Nile River. *Science of the Total Environment*, 574: 95-108